

پتروگرافی، ژئوشیمی و پتربولوژی توده‌های نفوذی شمال‌غرب یزد

جواد قانعی اردکانی*، علی درویش زاده**

چکیده

منطقه مورد مطالعه در ۶۰ کیلومتری شمال‌غرب یزد واقع شده و از لحاظ تقسیم‌بندی تکتونیکی، بخشی از زون آتشفسانی ارومیه - دختر و ایران مرکزی است. سنگ‌های گرانیتی منطقه به سن الیگو - میوسن دارای ترکیبی از سیینوگرانیت تا گرانودیوریت‌اند که از نظر پتروگرافی، واجد بافت‌های گرانوفیری، میرمکیتی، آنتی راپاکیوی، پرتیتی و برخی پرفیروئیدها و کاتاکلاستیک‌ها هستند. این گرانیت‌ها، از نظر خاستگاه تکتونوماگمایی، از نوع I کردیلرایی و در زون فرورانش حاشیه‌فعال قاره‌ای پس از برخورد تشکیل شده‌اند. وجود شواهد پتروگرافی و ژئوشیمیایی بیانگر تأثیر فرایند متاسوماتیسم آلکالن بر روی سنگ‌های گرانیتوئیدی منطقه است.

به طور کلی، از نظر ژئوشیمیایی، سنگ‌های منطقه متأتا پرآلومین و متعلق به سری ماگمایی کالکوآلکالن پتابسیم بالا هستند و با توجه به روند تغییرات عناصر کمیاب و اصلی در نمودارهای هارکر و عنکبوتی، سنگ‌های گرانیتی را می‌توان هم‌منشأ با سنگ‌های آتشفسانی در نظر گرفت و مدل ژئودینامیکی پیشنهادی منطقه را مشابه با مدل آند مرکزی دانست که در این مدل فرایند تولید ماگما بر اثر پدیده چندمنشائی و چندمرحله‌ای صورت می‌گیرد.

کلیدواژه

شمال‌غرب یزد، سیینوگرانیت، گرانودیوریت، کردیلرایی، حاشیه‌فعال قاره‌ای، متاسوماتیسم آلکالن، کالکوآلکالن، آند مرکزی.

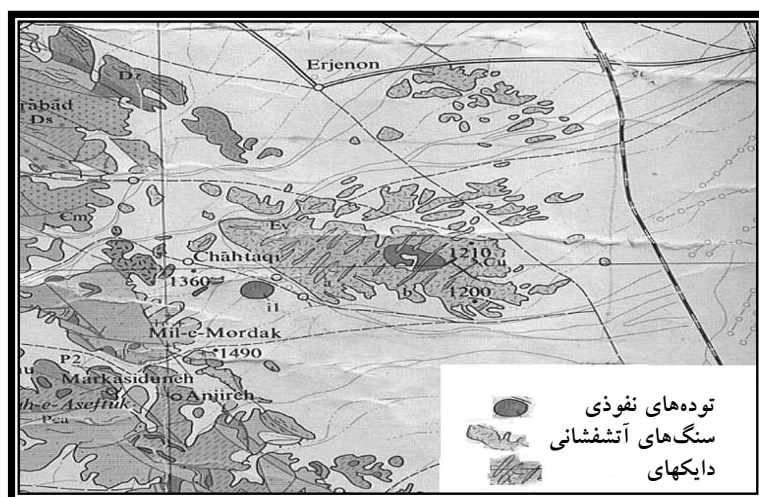
* عضو هیئت علمی دانشگاه پیام نور، مرکز نفت

** استاد دانشگاه آزاد لاهیجان

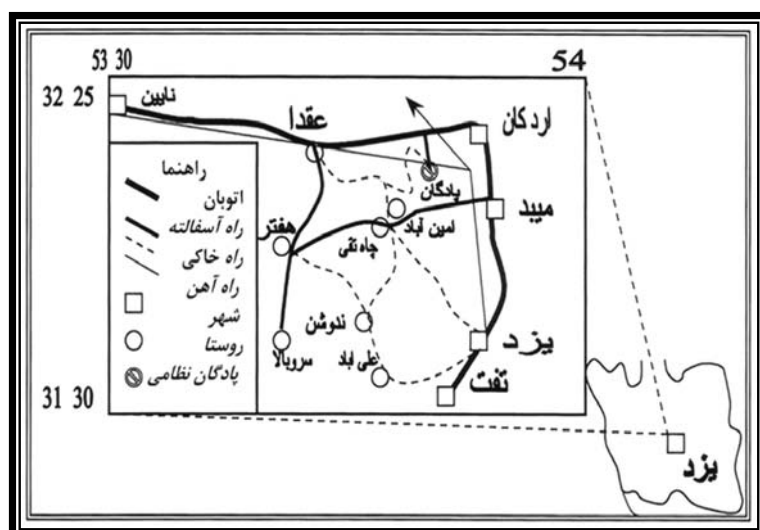
این منطقه دارای ویژگی‌های خاصی است که به تبعیت از ساختار زمین‌شناسی و واحدهای سنگی آن شکل گرفته است و به صورت استوک‌های گرانیتی و پراکنده در جنوب پادگان ولی عصر و آبادیهای امین‌آباد، چاه تقی، ندوشن و علی‌آباد رخنمون دارند (شکل ۲).

مقدمه

منطقه مورد مطالعه در ۶۰ کیلومتری شمال‌غرب یزد و در محدوده طول‌های جغرافیایی $53^{\circ}30'$ تا $54^{\circ}30'$ شرقی و عرض‌های جغرافیایی $31^{\circ}30'$ تا 32° شمالی واقع شده است و در محدوده نقشه‌های زمین‌شناسی ۱:۲۵۰۰۰۰ نایین و ۱:۱۰۰۰۰۰ خضرآباد قرار می‌گیرد (شکل ۱).



شکل ۱. بخشی از نقشه زمین‌شناسی منطقه مورد مطالعه (نقشه ۱:۲۵۰۰۰۰ نایین)



شکل ۲. موقعیت جغرافیایی و راه‌های دسترسی توده‌های نفوذی شمال‌غرب یزد

گرانیتی الیگو - میوسن است که با توجه به سن توده‌ها و جایگیری آن در نوار ولکانیکی ایران مرکزی، تعیین منشأ و خاستگاه تکتونیکی آن می‌تواند در بررسی نحوه پلوتونیسم الیگو - میوسن در ایران مؤثر باشد.

مواد و روش‌ها

به منظور دستیابی به اهداف مذکور، از مراحل و روش‌های زیر استفاده شده است:

مرحله اول: شامل مطالعات کتابخانه‌ای و گردآوری اطلاعات از نقشه‌های زمین‌شناسی، توبوگرافی، عکس‌های هوایی منطقه و مطالعات انجام گرفته قبلی است.

مرحله دوم: شامل مطالعات صحرایی و نمونه‌برداری است که در مجموع از ۲۰۰ نمونه‌برداشتی، ۱۰۰ نمونه انتخاب و مقاطع نازک آنها تهیه شده است.

مرحله سوم: شامل بررسی‌های پتروگرافی و ژئوشیمیایی است که پس از مطالعات پتروگرافی، تعداد ۱۳ نمونه از سنگ‌های منطقه به روش XRF توسط سازمان زمین‌شناسی کشور و ۳ نمونه به روش XRD در گروه زمین‌شناسی دانشگاه تهران مورد تجزیه کانی‌شناسی قرار گرفت و با استفاده از داده‌های به دست آمده و نرم افزارهای رایانه‌ای، دیاگرام‌های ژئوشیمیایی رسم و تجزیه و تحلیل قرار شد (جدول - ۱).

مرحله چهارم: با گردآوری نتایج پتروگرافی، ژئوشیمیایی، صحرایی و مطالعات مربوطه، مقاله حاضر که تلفیقی از داده‌های فوق است تهیه شد تا علی‌رغم بسیاری از نقایص و کاستی‌ها بتواند به روشن شدن برخی از مسائل زمین‌شناسی منطقه کمک نموده، مقدمه‌ای برای کارهای بهتر در آینده باشد.

این توده‌ها در داخل سنگ‌های ولکانو - سدیمنت ائوسن و سنگ‌های قدیمی‌تر نفوذ کرده، برادر آن، سنگ‌های آتشفسانی به شدت دگرسان شده‌اند. همچنین در سنگ‌های قدیمی‌تر باعث تشکیل انواع دگرگونی مجاورتی هورنفلس و شیست لکه‌دار گردیده است.

از نظر پتانیسل اقتصادی، کانه‌زایی آهن، مس، سرب، روی، زئولیت، سیلیس و کائولن به صورت پراکنده در کنタکت این توده‌ها با سنگ‌های میزبان، به‌ویژه سنگ‌های آتشفسانی منطقه قابل مشاهده است.

در منطقه مورد مطالعه، سنگ‌های آذرین را می‌توان از نظر ترکیب و تقدم و تأخر زمانی به سه گروه اصلی تقسیم کرد:

۱. سنگ‌های آتشفسانی ائوسن: این سنگ‌ها بخش عمده رخنمون منطقه را تشکیل داده و عمدتاً ترکیب آندزیتی، تراکیتی، ریولیتی و داسیتی دارند.

۲. توده‌های گرانیتی الیگو - میوسن: این توده‌ها سنگ‌های آتشفسانی ائوسن را قطع کرده، باعث دگرسانی و کانه‌زایی شده‌اند و در جنوب پادگان ولی عصر به صورت آپوفیز رخنمون دارند و به عقیده عمیدی (Amidi, 1977) دارای سن مطلق

بین ۱۷ تا ۱۹ میلیون سال هستند

۳. دایک‌های اسیدی و بازیک: دایک‌های اسیدی و بازیک به موازات یکدیگر، با روند شمال‌شرقی - جنوب‌غربی و عمود بر گسل اصلی منطقه‌اند. این دایک‌ها سنگ‌های آتشفسانی ائوسن و توده‌های نفوذی الیگو - میوسن را قطع نموده‌اند، بنابراین از نظر زمانی جدیدتر از میوسن هستند (شکل ۱).

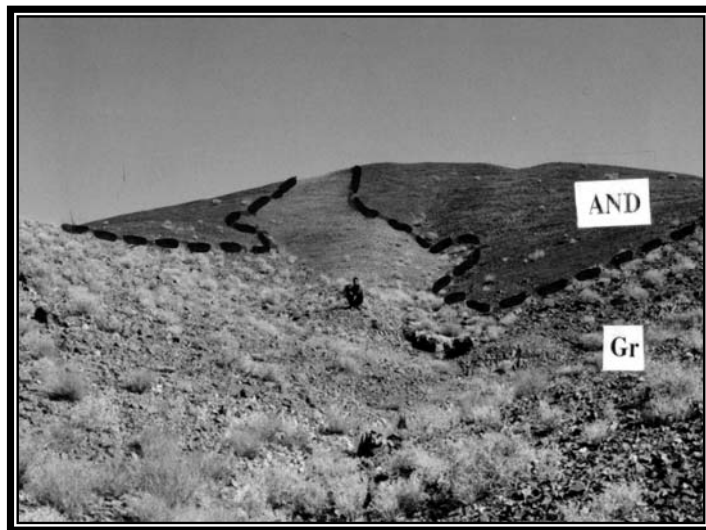
هدف از بررسی منطقه شمال‌غرب یزد، مطالعات کانی‌شناسی، پتروگرافی، ژئوشیمی و تعیین منشأ و خاستگاه تکتونیکی توده‌های

جدول ۱. آنالیز شیمیایی نمونه‌های شمال‌غرب بزد به روش XRF

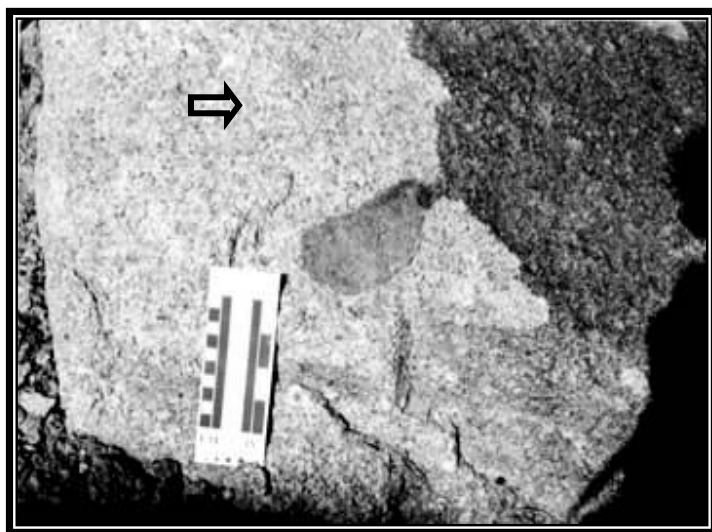
| نمونه اکسید | GH14 | GH20 | GH24 | GH25 | GH27 | GH35 | GH47 | GH55 | GH57 | GH63 | GH85 | GH90 | GH120 |
|--------------------------------|-------|-------|-------|-------|-------|-------|-------|-------|-------|-------|-------|-------|-------|
| SiO ₂ | ۶۹/۶۰ | ۷۲/۰۲ | ۶۸/۵۹ | ۷۰/۰۹ | ۷۰/۰۸ | ۷۲/۰۶ | ۶۷/۷۴ | ۷۳/۰۲ | ۷۱/۴۳ | ۶۶/۲۱ | ۶۹/۱۲ | ۷۱/۲۹ | ۶۵/۸۷ |
| TiO ₂ | ۰/۰۹ | ۰/۰۵ | ۰/۰۴۲ | ۰/۰۱۳ | ۰/۰۱۲ | ۰/۰۴۸ | ۰/۰۶۲ | ۰/۰۵ | ۰/۰۴۳ | ۰/۰۷۵ | ۰/۰۹ | ۰/۰۳۹ | ۰/۰۵۹ |
| Al ₂ O ₃ | ۱۵/۲۴ | ۱۴/۱۸ | ۱۴/۹۶ | ۱۳/۹۰ | ۱۴/۰۳ | ۱۳/۹۶ | ۱۵/۰۱ | ۱۳/۰۵ | ۱۳/۹۸ | ۱۵/۱۸ | ۱۴/۱۳ | ۱۲/۱۹ | ۱۵/۲۵ |
| Fe ₂ O ₃ | ۱/۳۰ | ۰/۰۹ | ۱/۰۸ | ۱/۰۴ | ۰/۰۹ | ۱/۰۳ | ۱/۰۴ | ۰/۰۵ | ۰/۰۷۸ | ۱/۰۷ | ۱/۰۲۳ | ۱/۰۱۲ | ۱/۰۷۷ |
| FeO | ۱/۷۵ | ۱/۰۸ | ۱/۰۶ | ۱/۰۶ | ۱/۰۷ | ۱/۰۷۳ | ۱/۰۸ | ۱/۰۴ | ۱/۰۱۵ | ۱/۰۷ | ۱/۰۲۶ | ۱/۰۵۲ | ۱/۰۳۹ |
| MnO | ۰/۰۲ | ۰/۰۷ | ۰/۰۳ | ۰/۰۴ | ۰/۰۵ | ۰/۰۶ | ۰/۰۳ | ۰/۰۳ | ۰/۰۲ | ۰/۰۵ | ۰/۰۴ | ۰/۰۴ | ۰/۰۴ |
| MgO | ۰/۰۴۲ | ۱/۰۸ | ۱/۰۹ | ۱/۰۴ | ۱/۰۴ | ۱/۰۸ | ۰/۰۷ | ۱/۰۶ | ۰/۰۹ | ۱/۰۹ | ۱/۰۷۵ | ۱/۰۲۳ | ۱/۰۲۴ |
| CaO | ۱/۰۶ | ۱/۰۴ | ۲/۰۲ | ۱/۱۱ | ۱/۰۹ | ۱/۰۸ | ۲/۰۵ | ۱/۰۴ | ۲/۰۶ | ۲/۰۵ | ۲/۰۱۳ | ۱/۰۵۳ | ۲/۰۲۹ |
| Na ₂ O | ۲/۶۷ | ۳/۹۲ | ۳/۸۳ | ۳/۲۸ | ۳/۰۰ | ۴/۰۲ | ۱/۰۹ | ۱/۰۸ | ۱/۰۲۹ | ۱/۰۴۱ | ۱/۰۵۶ | ۴/۰۴۷ | ۲/۰۳۶ |
| K ₂ O | ۴/۲۲ | ۰/۰۰ | ۴/۶۴ | ۴/۰۹ | ۴/۳۶ | ۰/۰۸ | ۴/۰۶ | ۴/۰۹ | ۰/۰۶۳ | ۰/۰۷ | ۰/۰۴۴ | ۴/۰۷۳ | ۳/۰۲۴ |
| P ₂ O ₅ | ۰/۰۲ | ۰/۰۶ | ۰/۰۹ | ۰/۰۳ | ۰/۰۴ | ۰/۰۸ | ۰/۰۲ | ۰/۰۶ | ۰/۰۳ | ۰/۰۹ | ۰/۰۴ | ۰/۰۰۸ | ۰/۰۰۹ |
| Sr | ۲۳۱ | ۲۰۰ | ۲۸۹ | ۲۳۴ | ۲۲۳ | ۱۹۸ | ۲۹۱ | ۲۳۹ | ۲۶۲ | ۳۵۸ | ۲۷۷ | ۱۸۲ | ۳۶۸ |
| Y | ۱۲ | ۱۹ | ۱۱ | ۱۷ | ۱۸ | ۲۱ | ۱۲ | ۱۹ | ۲۲ | ۱۲ | ۱۹ | ۱۷ | ۱۲ |
| Zr | ۱۳۸ | ۱۲۶ | ۱۶۵ | ۱۲۹ | ۱۲۷ | ۱۲۲ | ۱۰۵۲ | ۱۴۰ | ۱۵۵ | ۱۲۲ | ۱۴۲ | ۱۲۷ | ۱۳۶ |
| Nb | ۱۰/۴ | ۹/۸ | ۷/۹ | ۱۱ | ۱۰/۷ | ۹/۴ | ۴/۷ | ۹/۶ | ۶/۶ | ۳/۴ | ۵/۵ | ۱۳ | ۳/۲ |
| Ba | ۰۲۸ | ۸۷۸ | ۶۰۷ | ۶۱۲ | ۶۲۰ | ۸۸۹ | ۶۶۴ | ۹۲۰ | ۴۶۶ | ۳۰۰ | ۳۹۹ | ۴۶۰ | ۲۷۹ |
| La | ۱۹ | ۴۸ | ۱۳ | ۳۳ | ۳۸ | ۰ | ۱۹ | ۴۳ | ۲۸ | ۲۱ | ۲۶ | ۲۴ | ۲۲ |
| Nd | ۲۲ | ۴۶ | ۲۶ | ۳۹ | ۴۱ | ۴۹ | ۲۲ | ۲۴ | ۲۵ | ۳۰ | ۳۰ | ۳۰ | ۳۲ |
| Sm | ۲۱/۱ | ۱۲ | ۱۶/۵ | ۱۹ | ۱۷ | ۱۱ | ۱۱/۹ | ۹ | ۱۰ | ۹/۲ | ۹/۸ | ۹/۶ | ۱۰/۱۴ |
| Tb | ۰/۹۶ | ۰/۰۹ | ۰/۰۹ | ۰/۰۸۹ | ۰/۰۹ | ۰/۰۷۹ | ۱/۰۱ | ۰/۰ | ۰/۰۴ | ۰/۰۹ | ۰/۰۷۶ | ۰/۰۴۳ | ۰/۰۵۰ |
| Yb | ۲/۲ | ۴/۴ | ۲/۹ | ۳/۴ | ۲/۸ | ۴/۴ | ۲/۸ | ۴/۷ | ۴/۴ | ۲/۸ | ۳/۹۹ | ۴/۶ | ۱/۹ |
| Hf | ۲/۸ | ۰/۲ | ۲/۶ | ۳/۳ | ۲/۹ | ۰/۳ | ۲/۲ | ۰/۰ | ۳/۹ | ۲/۸ | ۲/۳ | ۲/۹ | ۴/۱ |
| Ta | ۰/۰۵ | ۱/۰۲ | ۰/۰۴ | ۱/۰ | ۰/۰۶ | ۱/۱ | ۰/۰۷۶ | ۰/۰۸ | ۰/۰۸۹ | ۰/۰۷۹ | ۰/۰۸۶ | ۰/۰۸۱ | ۰/۰۸۲ |
| Th | ۰/۰۶ | ۰/۰۱۳ | ۰/۰۹ | ۰/۰۷۰ | ۰/۰۷۶ | ۰/۰۶۰ | ۰/۰۷ | ۰/۰۹ | ۰/۰۶۱ | ۰/۰۸۷ | ۰/۰۷۵ | ۰/۰۵۲ | ۰/۰۲۴ |
| Eu | ۲/۷ | ۳/۲ | ۱/۷ | ۲/۳ | ۲/۸ | ۳/۹ | ۲/۱ | ۴/۱ | ۳/۱۳ | ۱/۹ | ۲/۹۸ | ۱/۸ | ۲/۸ |
| Cu | ۰/۰ | ۷/۶ | ۹/۲ | ۷/۶۹ | ۷/۰۱ | ۵/۰۹ | ۷/۸ | ۵/۰۹ | ۵/۰۶۷ | ۵/۰۹ | ۵/۰۷۷ | ۵/۰۹۹ | ۶/۲ |
| Ce | ۲۱ | ۵۶ | ۴۱ | ۴۲ | ۴۸ | ۵۹ | ۴۲ | ۶۱ | ۵۹ | ۱۶ | ۵۱ | ۵۲ | ۲۲ |
| Rb | ۱۰۵ | ۱۳۲ | ۱۱۴ | ۱۴۴ | ۱۴۹ | ۱۲۳ | ۲۰۷ | ۱۱۲ | ۱۵۶ | ۱۸۴ | ۱۷۶ | ۱۵۸ | ۱۸۲ |

از ویژگی‌های دیگر این گرانیت‌ها وجود آنکلاوها با ترکیب کوارتز‌مونزون‌دیوریت است. این آنکلاوها اندازه‌های متغیر داشته، برخی به بیش از ۳۰ سانتی‌متر می‌رسند و دارای حاشیه تقریباً گرد و تخم مرغی شکل هستند (شکل ۴).
ب) پتروگرافی: بر اساس مطالعات پتروگرافی و تعیین درصد حجمی، کانی‌های تشکیل‌دهنده این سنگ‌ها توسط دستگاه شمارنده نقاط و با استفاده از دیاگرام‌های مثلثی QAP اشتريکایزن (Streckeisen, 1976) در محدوده سینیوگرانیت تا گرانو‌دیوریت قرار می‌گیرند (شکل ۵).

مشاهدات
الف) شواهد صحرایی: توده‌های نفوذی مورد بحث، به‌طور پراکنده و به صورت توده‌های منفرد بیشتر در آبرفت‌های منطقه بیرون‌زدگی دارند. ارتباط سنگ‌های گرانیتی با سنگ‌های آندزیتی به صورت کتناکت مشخص، آپوفیز در شمال منطقه و همچنین به صورت زبانه‌های نفوذی در آندزیت‌ها است که در مجاورت زبانه‌های نفوذی، آندزیت‌ها دگرسان شده (پروپیلیتی و اپیدوت‌زایی). تبلور مجدد حاصل کرده‌اند که بیانگر تقدم زمانی سنگ‌های آندزیتی نسبت به توده‌های گرانیتی است (شکل ۳-۴).



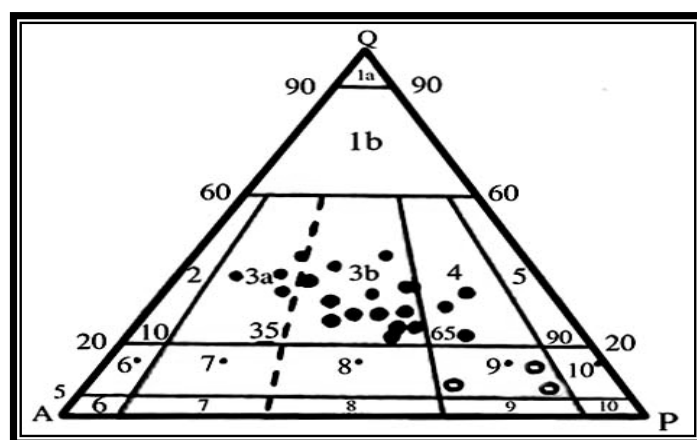
شکل ۳. نفوذ زبانه‌های گرانیتی در داخل سنگهای آندزیتی (AND = آندزیت و Gr = گرانیت)



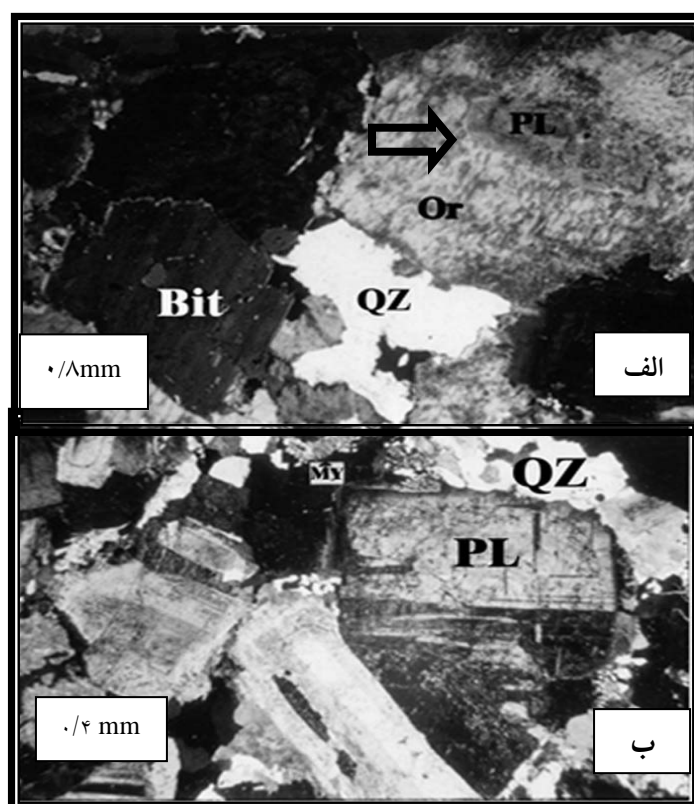
شکل ۴. آنکلاوها میکروکوارتز مونزودیوریت با حاشیه تقریباً گرد و تخم مرغی شکل

کلریت نیز تشکیل شده است. بافت‌های غالب گرانیتوئیدهای این منطقه شامل گرانولار پرفیرویید، پرتیت، میرمکیت، آنتی راپاکیوی است. همچنین، انواع بافت‌های کاتاکلاستیک در برخی از گرانیت‌ها قابل مشاهده است (شکل ۶ و ۷).

فراوان‌ترین کانی‌های تشکیل دهنده گرانیتوئیدها شامل ارتوکلاز با $15/4$ تا $37/5$ درصد، پلاژیوکلاز با $4/10$ تا $57/5$ درصد، کوارتز با $3/19$ تا $5/31$ درصد، هورنبلند با $0/75$ تا $1/5$ درصد و بیوتیت با $0/4$ تا $5/5$ درصد، کانی‌های فرعی آپاتیت، اسفن، زیرکن و مگنتیت هستند و در اثر دگرسانی، کانی‌های ثانویه سریسیت، اپیدوت و



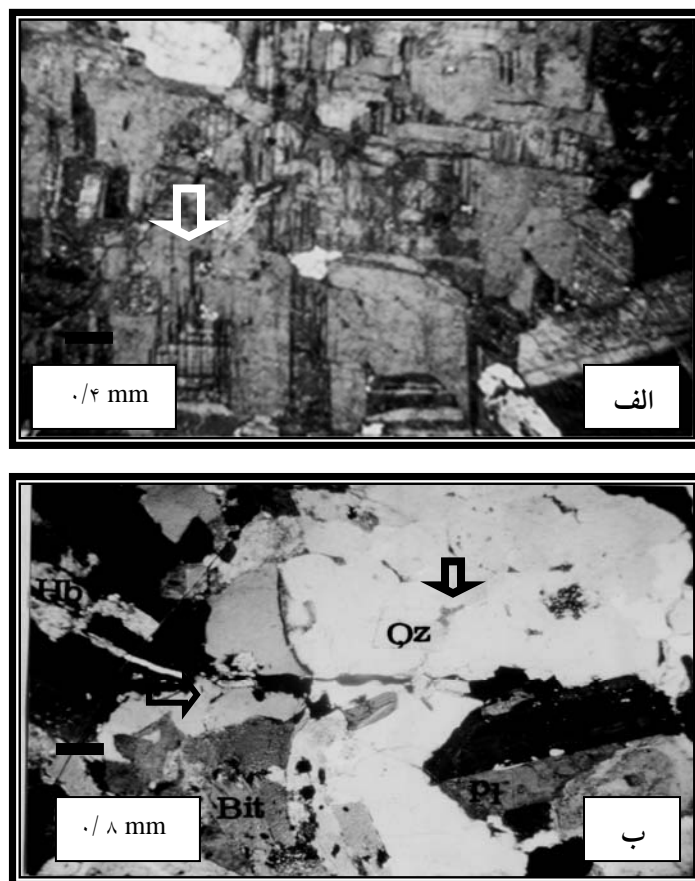
شکل ۵. نمودار مُدال QAP را اشتراکایزن و سنگ‌های مورد مطالعه
 ۱=سینوگرانیت ۲=مونزوگرانیت ۳a=گرانودیبوریت *۳b=کوارتزمونزودیبوریت ترکیب آنکلاوهای
 آنکلاوهای موجود در گرانیتها ○ سنگهای گرانیت منطقه ●



شکل ۶. تصاویر میکروسکوپی گرانیتهای شمال غرب بزد
 (الف) بافت آنتی راپاکیوی (ب) بافت میرمکیت حاشیه ای
 PL = پلازیوکلاز Bit = بیوتیت QZ = کوارتز My = میرمکیت

از شرایط اساسی و اوئلیه برای متاسوماتیسم، عملکرد تکتونیکی است که به صورت بافت کاتاکلاستیک در مقاطع میکروسکوپی ظاهر می‌شود که در گرانیت‌های میلونیتی شده، به‌ویژه توده‌های دوکی‌شکل چاه تقی و ندوشن، قابل مشاهده است. علاوه بر این، وجود بافت میرمکیت حاشیه‌ای، پلازیوکلاز با ماکل صفحه‌شطرنجی (شکل ۷) و شواهد رئوشیمیایی که در بخش رئوشیمی درباره آن بحث شده است، بیانگر تأثیر فرایند متاسوماتیسم آلکالن بر روی این گرانیت‌هاست (Collins, 1988).

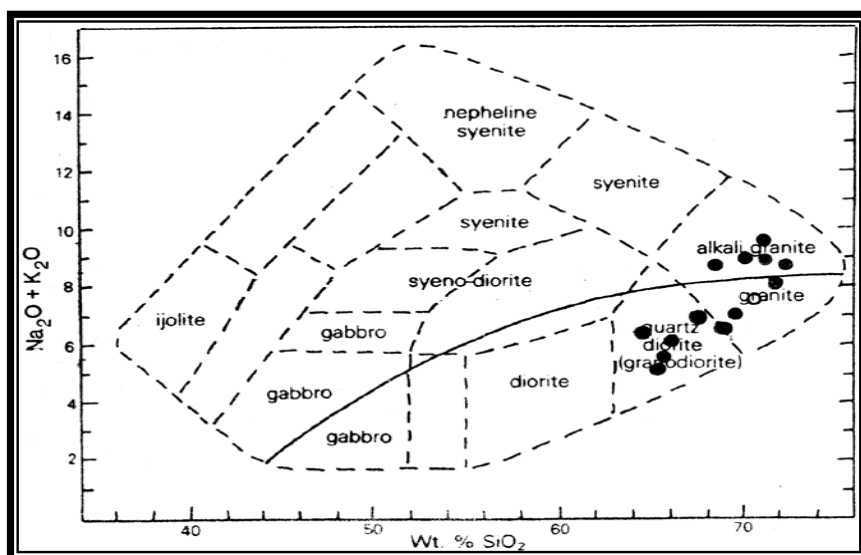
برخی از گرانیت‌های مورد مطالعه که در زون بشی قرار گرفته‌اند شواهدی را دار بر میلونیتی شدن را نشان می‌دهند که می‌توان به کوارتزهای خردشده با خاموشی موجی، پلازیوکلازها با شکستگی‌های طریفی که باعث جابه‌جایی تیغه‌های ماکل نواری و به صورت گوهای شکل (تداخل بین‌انگشتی شده) و بیوتیت‌های تغییر شکل یافته و تاب‌دار (kinking) اشاره کرد (شکل ۷). شواهد بافتی کاتاکلاستیک و میلونیتی شدن گرانیت‌ها، بیانگر فعالیت تکتونیکی منطقه پس از جایگیری این گرانیت‌هاست.



شکل ۷: تصاویر میکروسکوپی گرانیت‌های میلونیتی شده شمال غرب یزد
 الف) بافت صفحه‌شطرنجی در پلازیوکلازها (PPL) ب) بافت کاتاکلاستیک (PPL)
 Hb = کوارتز Bit = هورنبلند Pl = بیوتیت QZ = پلازیوکلاز

و همکاران (Cox et. al. 1979) و میدلموست (Middlemost, 1994) سنگ‌های منطقه عمده‌ای در محدوده‌های مونزگرانیت و گرانودیوریت قرار می‌گیرند (شکل ۸).

ج) ژئوشیمی: بر اساس نمودارهای نام‌گذاری مُدال اشتراکایزن (Streckeisen, 1976); نورماتیو لومتر و همکاران (Le Maitre et.al. 1989) و اکانر (O'connor, 1965) و نمودارهای شیمیابی کاکس



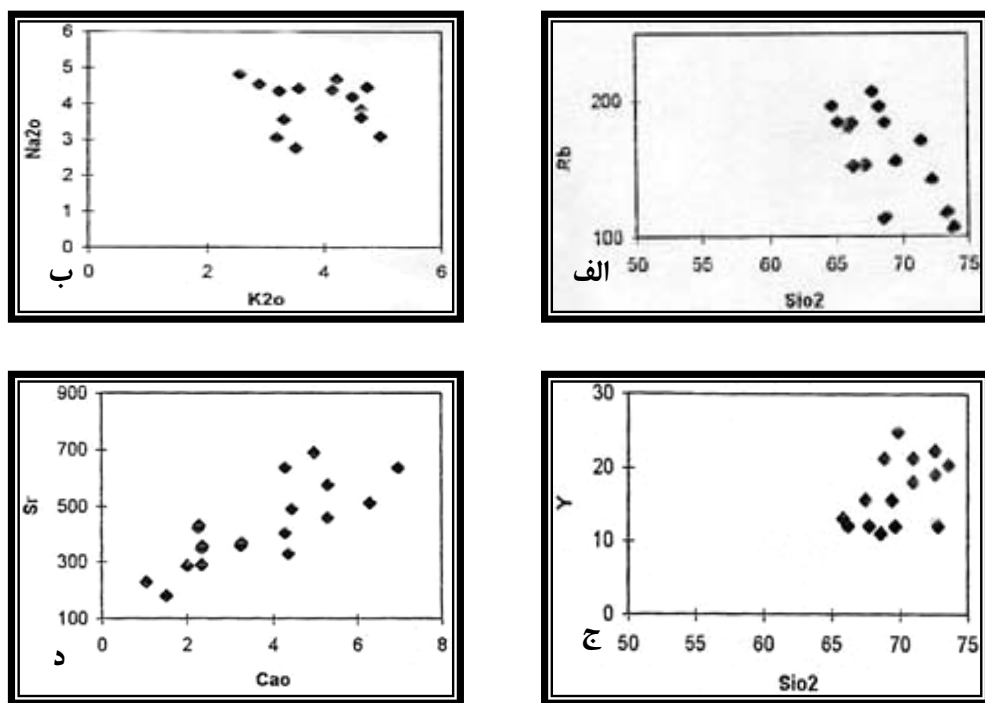
شکل ۸ نمودار طبقه‌بندی سنگ‌های آذرین کاکس (Cox, 1979)

برخی از نمونه‌های گرانیتی در نمودار K_2O - Na_2O بیانگر تأثیر فرآیند متاسوماتیسم سدیک بر روی سنگ‌های منطقه است (شکل ۹). (Wilson, 1989). در نمونه‌ها، افزایش مقدار K_2O نسبت به SiO_2 روند ثابت Y در مقابل SiO_2 و مقدار بالای Y بیانگر مشارکت آمفیبول در ذوب‌بخشی است (شکل ۹). (Cui & Russel, 1995).

۴. تغییرات Sr در مقابل CaO با روند خطی و شیب مثبت و همچنین غنی‌شدگی Ba ، Sr در نمودارهای عنکبوتی بیانگر نقش داشتن پلازیوکلار در فرآیند ذوب‌بخشی است (شکل ۹ و ۱۰) (Wilson, 1989).

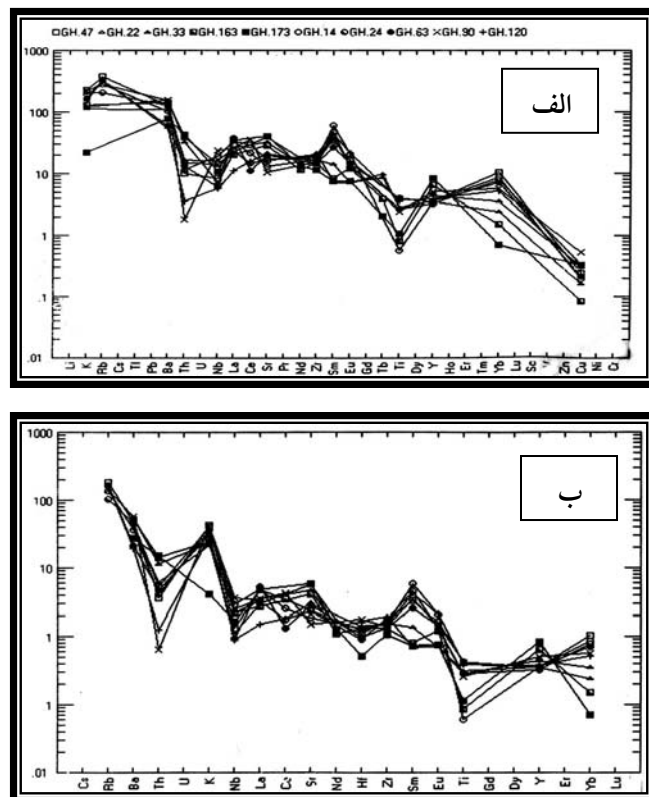
از بررسی نمودارهای مختلف هارکر و عنکبوتی نتایج قابل توجهی در مورد منشأ احتمالی ماقمای گرانیتوئید شمال‌غرب یزد به دست آمده است که به‌طور خلاصه عبارت از:

۱. روند تغییرات عناصر اصلی نسبت به SiO_2 در Al_2O_3 , Na_2O , K_2O انطباق مثبت و TiO_2 , MgO , Fe_2O_3 , CaO تطابق منفی نشان می‌دهند و در مقایسه با آندزیت‌های منطقه یک روند خطی و پیوسته بوده که از دلایل هم‌منشأ بودن این سنگ‌هاست.
۲. روند غیرخطی برخی از نمونه‌های گرانیتی در نمودار $Rb-SiO_2$ و روند غیرخطی و شیب منفی



شکل ۹. نمودارهای هارکر

الف) نمودار $\text{Y}-\text{SiO}_2$
ج) نمودار $\text{Rb}-\text{SiO}_2$
د) نمودار $\text{Sr}-\text{CaO}$
ب) نمودار $\text{K}_2\text{O}-\text{Na}_2\text{O}$



شکل ۱۰: روند تغییرات عناصر کمیاب در نمودارهای عنکبوتی

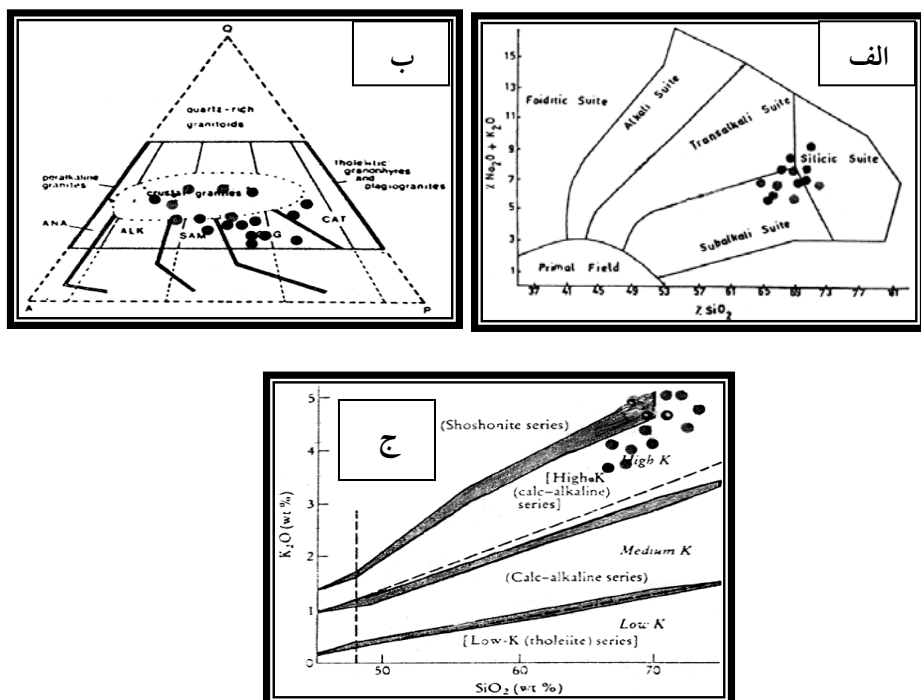
الف) عادی شده به گوشه اولیه
ب) عادی شده به بازالت های میان اقیانوسی

بازالتهای اقیانوسی و غنی شدگی عناصر LREE نسبت به گوشتۀ اوّلیه در سنگ‌های آندزیتی و گرانیتی، بر آلودگی پوسته‌ای و دخالت پوسته قاره‌ای در فرایند تشکیل ماگما در زون فرورانش دلالت دارد (شکل ۱۰).

د) پترولوژی: برای روشن شدن وضعیت سنگ‌های گرانیتی شمال‌غرب یزد از نظر سری ماگمایی، از نمودارهای مختلفی نظیر نمودار میدلموست بودن (Lameyer & Bowden, 1982) و نمودار دوتایی لومتر و همکاران (Le Maitre et al. 1989) استفاده شد. نمونه‌های مورد مطالعه بیشتر به محدوده سری کالکو‌آلکالن پتاسیم زیاد تعلق دارند (شکل ۱۱).

۵. آنومالی منفی Th, Nb, Ti بیانگر منشأ فرورانش ماگماها بوده، در نتیجه جذب این عناصر در کانی‌های آهن و منیزیم‌دار در پوسته اقیانوسی فرورانده است؛ به عبارت دیگر، بیانگر مشارکت پوسته اقیانوسی در تشکیل ماگماهای فرورانش است و غنی شدگی Th, Ba, Rb عناصر دیگر نسبت به گوشتۀ اوّلیه آنومالی مثبت داشته است که آن را به متاسوماتیسم گوشتۀ ای نسبت می‌دهند (شکل ۱۰) (Ibid).

۶. مقدار بالای K/Rb، Ba دال بر منشأ گوشتۀ ای ماگماست (Le Maitre et.al. 1989) آنومالی مثبت Sm در سنگ‌های گرانیتی بیانگر ذوب‌بخشی پایین گوشتۀ ای است (Pearce et. al.) 1984) و بالاخره غنی شدگی عناصر گروه پتاسیم نسبت به



شکل ۱۱. نمودارهای مختلف جهت تعیین نوع سری ماگمایی

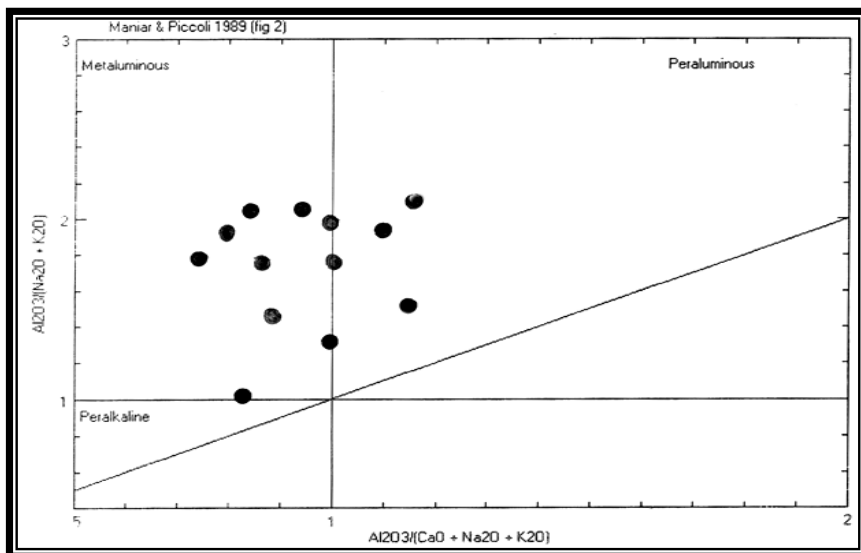
الف) نمودار میدلموست ب) نمودار میثلی QAP لامر و بودن

ج) نمودار دوتایی لومتر و همکاران

لیکن با توجه به عدم دسترسی به چنین تکنیکی و با توجه به ویژگی پتروگرافی سنگهای گرانیتی از جمله بافت پر فروئید و گرانوفیری، توده های نفوذی منطقه نیمه عمق بوده و باعث دگرگونی ضعیف سنگهای میزبان وکتاتکت کاملاً مشخص تا تدریجی گردیده است.

این سنگ‌ها بر اساس شاخص اشباع از آلومنیم (ASI) در نمودار مانیار و پیکولی (Maniar & Piccoli, 1989) بیشتر در محدوده متالومین قرار می‌گیرند (شکل ۱۲).

جهت تعیین عمق تشکیل ماقماهای گرانیتی امروزه از روش‌های ایزوتوبی استفاده می‌شود



شکل ۱۲. نمودارهای ASI مانیار و پیکولی

خاستگاه ماقمایی محیط تکتونیکی توده‌های فوق مشخص شد، ولی برای بیان صریح مطلب به اطلاعات ایزوتوبی نیاز داریم.

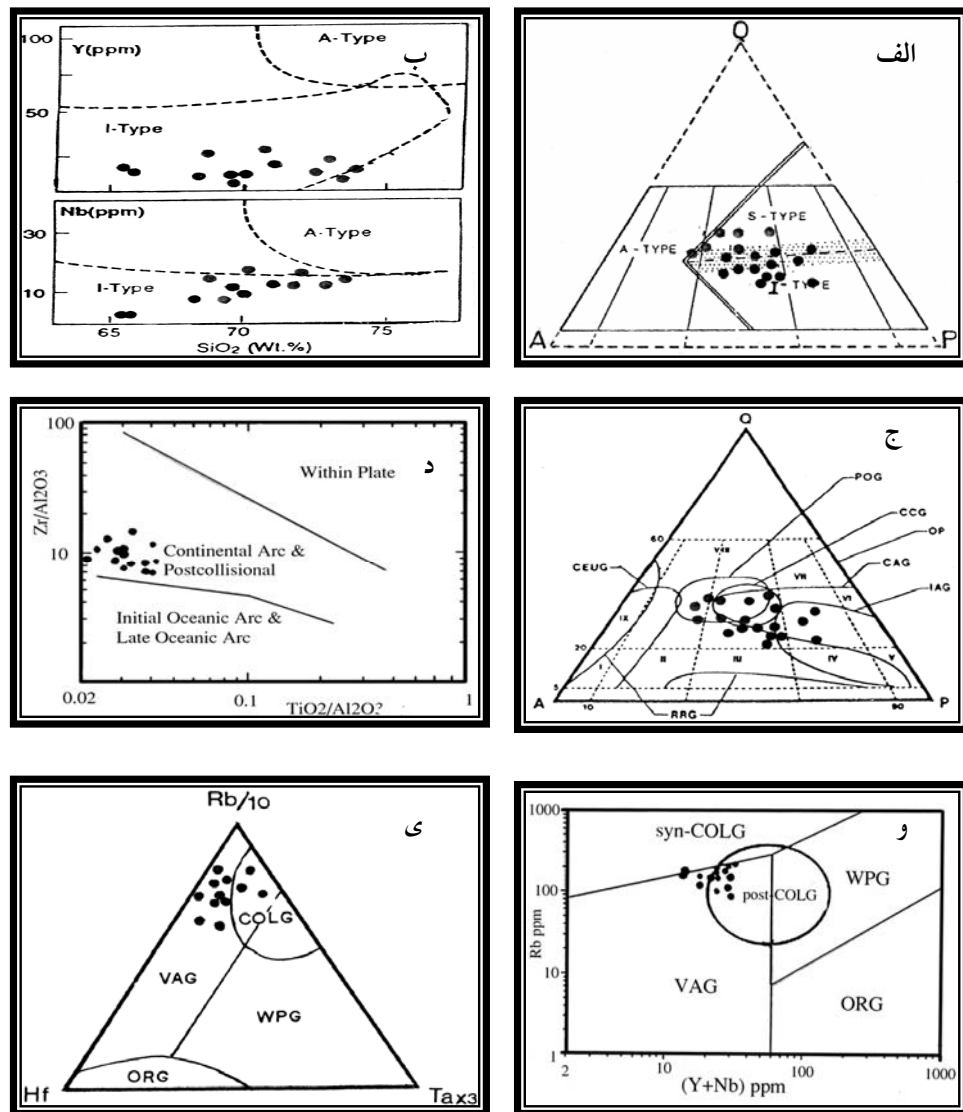
منابع ماقمایی را در سنگ‌های گرانیتی را منابع گوشه، پوسته و مختلط در نظر می‌گیرند. این منابع با جایگاه تکتونیکی تطابق خوبی دارند و گرانیت‌های مربوط به موقعیت‌های بعد از برخورد معمولاً آثاری از منشأ گوشه لیتوسفری غنی‌شده هستند و با مقدار کمی از مذاب‌های پوسته‌ای همراه‌اند و تأخیر متقابل بین ماقماهای مشتق شده از گوشه با پوسته، تابعی از ضخامت، دما و ترکیب پوسته و همچنین زمان بالا آمدن و دمای ماقماست که با جایگاه تکتونیکی مرتبط است (Pearce, 1996).

با استفاده از نمودارهای تفکیکی بودن و همکاران (Bowden et. al. 1984)، کلمن و تویست (Kleman & Twist, 1989)، مانیار و پیکولی (Maniar & Piccoli, 1989)، پیرس و همکاران (Pearce et. al. 1984)، مولر و همکاران (Muller et.al. 1992) و هاریس و همکاران (Harris et.al. 1992) و همکاران (1986)، گرانیت‌های شمال‌غرب یزد در خاستگاه ماقمایی از نوع I کردیلرایی و در یک رژیم تکتونیکی فروزانش قوس قاره‌ای پس از برخورد تشکیل شده‌اند (شکل ۱۳).

همچنین، بر اساس شواهد کانی‌شناسی از جمله عدم موجود مسکوویت در کنار بیوتیت، حضور هورنبلند، عدم وجود گارنت و وجود آنکلاوهای کوارتز‌مونزدیوریت، تأکیدی است بر خاستگاه ماقمایی نوع I با توجه به موارد فوق،

میکاها و آمفیبیول‌ها می‌توانند مشتق شود؛ بنابراین، الزامی وجود ندارد که سیالات ناشی از تخته فرورانده شده برای ایجاد ماگماها در حجم زیاد موجود باشد. چنین ماگماهایی مشخصات رئوژیشیمیایی و ایزوتوپی مواد منشأ را به ارث می‌برند و مواد منشأ احتمالی این ماگماها می‌توانند از گوشه‌های لیتوسفری زیرقاره‌ای تهی شده ناشی شود.

(Robers & Clemens, 1993) رابرتز و کلمنس در مدل پیشنهادی خود، دربارهٔ نحوهٔ تشکیل ماگماهای نوع I کالکوآلکالن با پتسیم زیاد اظهار می‌دارند که ذوب‌بخشی پوستهٔ تحتانی از جنس سنگ‌های آذرین دگرگون شده تحت شرایط رخسارهٔ گرانولیتی و اغلب بدون حضور سیال بوده است و در این شرایط، آب لازم برای ماگماهای تحت اشباع از آب، از شکسته شدن



شکل ۱۳. نمودارهای مختلف جهت تعیین محیط تکتونوماگمایی

- الف) نمودار بودن و همکاران
- ب) نمودار کلسن و تویست
- ج) نمودار مانیار و پیکولی
- د) نمودار مولر و همکاران
- ه) نمودار پیرس و همکاران
- و) نمودار هاریس و همکاران

شکل تقارنی منوکلینیک دارند و در یک محیط شکل پذیر قوی به وجود می‌آیند. در بررسی سنگ‌های گرانیتی که در زون برشی گسل‌های فرعی نمونه‌برداری شده دارای ویژگی میلونیت بوده، برگواره ظریفی را نشان می‌دهند، برای انجام مطالعات پترفابریکی سنگ‌های میلونیتی، به صورت جهت‌دار نمونه‌برداری شده و مقاطع نازک آنها در جهت عمود بر برگواره تهیه شده است.

کانی‌های اصلی میلونیت‌های منطقه از کانیهای کوارتز، میکروکلین و کانی‌های بیوتیت تشکیل شده‌است. کانی‌های کوارتز به صورت پرفیروکلاست با خاموشی موجی و تقریباً چشمی‌شکل و برخی از پرفیروکلاست‌ها تجمعی از کانی‌های کوارتز با فابریک مُضرس است و همچنین برخی از آنها دارای حالت پله‌ای شکل و ریزسنگ‌های غیرهمسو^۲ با زون برشی بوده که در بین سطوح ریزگسلهای بلورهای کوارتز تبلور یافته‌است و تجمعی از ریزدانه‌های کوارتز وجود دارد. برخی از پرفیروکلاست‌ها حالت سایه‌فشاری نامتقارن دارند که از تجمع ریزبلورهای کوارتز تشکیل شده‌است؛ بنابراین، این پرفیروکلاست‌ها از نظر زمانی قبل از تکتونیک بوده، در یک زون برشی ساده تغییر شکل یافته‌اند. از دیگر ویژگی‌های پرفیروکلاست‌های کوارتز وجود جهت‌یافتنگی در آنهاست، به طوری که محور نوری آنها با جهت حرکت و خردش‌دگی سنگ تقریباً مساوی است؛ به عبارت دیگر، بلورهای درشت کوارتز دارای شکل تقارن منوکلینیک هستند. برای تشخیص جهت‌یافتنگی محوری کانی‌های کوارتز از روش فتوتمتری پرایس استفاده شده است (Ibid).

-
1. foliation
 2. micrfoult asythetic

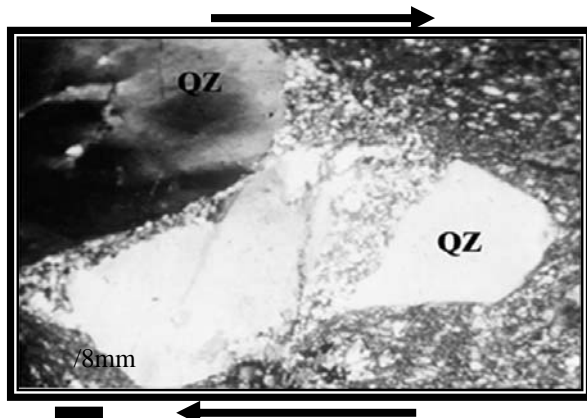
با توجه به موارد فوق و تشابه میانگین عناصر اصلی و فرعی سنگ‌های آندزیتی منطقه مورد مطالعه (قانعی و درویش‌زاده، ۱۳۸۰) با میانگین مقادیر عناصر آندزیت‌های زون آتشفسانی آند مرکزی و همچنین گسترش زیاد فوران‌های آندزیتی در این منطقه، وفور سنگ‌های آتشفسانی اسیدی و ایجاد کانسارسازی مس، سرب و روی در منطقه شمال‌غرب یزد که در مناطق آند نیز عمومیت دارد، می‌توان مدل زون آتشفسانی آندمرکزی برای منطقه مورد مطالعه تا حدی قابل قبول دانست و تأیید یا رد این مدل پیشنهادی به داده‌های ژئوشیمیایی عناصر اصلی و کمیاب بیشتر و گستردگر و داده‌های ایزوتوبی و ژئوفیزیکی احتیاج دارد. به عقیده ویلسون (Wilson, 1989) فرایند تولید ماگما در محیط فرورانش آند مرکزی، بر اثر پدیده چندمنشائی و چندمرحله‌ای صورت می‌گیرد که بر اساس شواهد ژئوشیمیایی و منطقه‌ای، این مدل ژئودینامیکی برای توده‌های نفوذی منطقه شمال‌غرب یزد پیشنهاد می‌شود.

و) رویدادهای تکتونیکی: منطقه مورد مطالعه بخشی از ایران مرکزی و زون ارومیه - دختر است که از پرکامبرین تاکنون فازهای کوهزایی متعددی را تحمل کرده که مؤثرترین آنها، فاز کوهزایی لارامید و پیرنه است که باعث شکل‌گیری ساختار ماگماتیسم منطقه شده است. به طور کلی، گسل‌های منطقه شامل گسل‌های اصلی است که به موازات گسل دهشیر بافت با روند شمال‌غربی جنوب‌شرقی و گسل‌های فرعی با روند شمال‌شرقی - جنوب‌غربی‌اند.

به عقیده پاشیر و ترو (Passchier & Trouw, 1996) میلونیت سنگی است که دارای برگواره^۱ و اغلب خطواره بوده، عناصر فابریکی آن اغلب

می توان راستگرد بودن گسل های منطقه را اثبات کرد (شکل ۱۴).

با توجه به اینکه نمونه های میلونیتی به صورت جهت دار برداشت شده است، با لذا وجود حالت سایه فشاری نامتقارن و جهت حرکت ریز گسله ها،



شکل ۱۴. پروفیوکلاست کوارتز باریز گسله های غیر همسو

آتشفشنانی آند مرکزی، و همچنین گسترش زیاد فوران های آندزیتی در این منطقه، وفور سنگ های آتشفشنانی اسیدی و ایجاد کانسارسازی مس، سرب و روی در شمال غرب یزد که در مناطق آند نیز عمومیت دارد، و بر اساس شواهد ژئوشیمیایی و منطقه ای، این مدل ژئودینامیکی برای توده های نفوذی منطقه شمال غرب یزد پیشنهاد می شود، البته تأیید یا رد این مدل پیشنهادی به داده های ژئوشیمیایی بیشتر و گسترده تر و داده های ایزوتوپی و ژئوفیزیکی نیاز دارد.

۶. در مدل پیشنهادی ویلسون (wilson) فرایند تولید ماگما در محیط فرو رانش آند مرکزی بر اثر پدیده چند منشاء ای و چند مرحله ای صورت می گیرد که می توان آن را به این منطقه نیز تعمیم داد.

بحث و نتیجه گیری

۱. اکثر گرانیت های منطقه، در نمودارها و نام گذاری های مختلف، در دو محدوده مونز گرانیت و گرانو دیوریت قرار می گیرند.
۲. با توجه به ویژگی پتروگرافی، از جمله بافت پرفروئید و گرانوفیری، توده های نفوذی منطقه نیمه عمق بوده، باعث دگرگونی ضعیف سنگ های میزبان و کتاتکت کاملاً مشخص تا تدریجی گردیده است.
۳. شواهد پتروگرافی و ژئوشیمیایی حاکی از فرایند متاسوماتیسم آلکالن بر روی سنگ های گرانیتی منطقه است.
۴. خاستگاه ماگمایی گرانیت های شمال غرب یزد از نوع I کردیلرایی است و از نظر محیط تکتونیکی نیز در یک محیط فرو رانش قوس قاره ای فعال پس از برخورد تشکیل شده اند.
۵. با توجه به شواهد ژئوشیمیایی و تشابه میانگین عناصر اصلی و فرعی سنگ های آندزیتی منطقه با میانگین مقادیر عناصر آندزیت های زون

سپاسگزاری

بدین وسیله تشکر و قدردانی صمیمانه خود را از شورای پژوهشی دانشگاه تهران و پیام نور که به نحوی یاریگر این جانب در تقبل بخشی از هزینه های این مقاله بوده اند، تقدیم می دارم.

منابع

غرب اردکان»، ارائه شده در پنجمین همایش
انجمن زمین‌شناسی ایران؛
Amidi, S. M. (1977), *Etude geologique de la region de Natnz-Surk (Central Iran)*, Ph.
D. These Grenoble. uni. Geo. Sur. Iran,
Rep. No. 42;
Bowden, P. et.al. (1984), "Petrological,
geochemical and source criteria for the
classification of granitic rocks", *Physics of the
Earth and Planetary Interiors* 35: 1-11;
Collins, L. G. (1988), *Hydrothermal
differentiation*, S. A. Athens, Theophrastus
Publication, 382 pp;
Condie, K. C. (1989), *Plate Tectonic and
Crustal Evolution*, Pergamon Prese, 476 pp;
Cox, K. G. et.al. (1979), *The Interpretation of
Igneous Rocks*, London, Allen and Unwin, 450
ppl;
Cui, Y. and J.K. Russell (1995), "Magmatic
origins of calc-Alkaline intrusions from the
coast plutonic complex, southwestern British
Colombia", *Can. J. Earth. Sci.* 33: 1643-1367;
Fowler, M.B. and P.J. Henney (1996),
"Mixed caledonian appinite magmas,
implications for lamprophyre fractionations
and high Ba-Sr granite genesis", *Cont. Minera.
Petrol.* 126: 199-215
Harris, N. B. W. et.al. (1986), "Geochemical
characteristics of collision zone magmatism",
Geo. Soc. Pub. 19: 67-81;
Kleman, G.J. and D. Twist (1989), "The
compositionally-Zoned sheet like granite pluton

قانعی، ج. و. و. ع. درویشزاده (۱۳۸۰)،
«پتروگرافی، ژئوشیمی و پژوهش آندزیت‌های
of the Bushveld complex", *Jou. Pet.* 30: 1383-
1414;
LaMeyre, R.W. et. al. (1989), *A Classification
of Igneous Rock an Glossary of Terms*, Black
Well Scientific Publications, 195 pp;
Maniar, R. D. and P. M. Piccoli (1989),
"Tectonic discrimination of granitoids",
Geological Society of America Bulletin 101:
635-643;
Middlemost, E. M. K. (1994), "Naming
materials in the magma igneous rock system",
Earth. Sci. Rev. 37: 215-224;
----- (1991), "Towards a
comprehensive classification of rocks and
magmass", *Earth. Sci. Rev.* 31: 37-87;
Muller, D. et.al. (1992), "Geochemical
discrimination between shoshonitic and
patassic volcanic rocks in different tectonic
settings", *Mineralogy & Petrology*, Vol. 94:
259 – 289;
O'Connor, J. T. (1965), "A classification for
quartz-rich igneous rock bases of feldspar
ratios", *Mineralogy & Petrology*, Vol. 94:
259-289;
O'connor, J. T. (1965), "A classification for
quartz-rich igneous rock bases of feldspar
ratios", *Us. Geol. Surv. prof.*, Pap 525-B, 79,
84;
Passchier, C. W. and R. A. J. Trouw (1996),
Microtectnics, Springer, 290pp;

Pearce, J. A. et.al. (1984), "Trace elements discrimination diagrams for the tectonic interpretation of granitic rock", *J. Petrol.*, Vol. 25: 956-983;

Pearce, J. A. (1996), "Sources and setting of granitic rock", *Episodes*, Vol. 19;

Roberts, M. D. and J. D. Clemens (1993), "Origin or high potassium clak-alkalin I-type

granitoid", *Geo.* Vol. 21;

Streckeisen, A. I. (1976), "To each plutonic rock its proper name", *Earth. Sci. Rev.*, No. 12: 1-33;

Wilson, M. (1989), Igneous Petrogenesis: A Global Tectonic Approach, London, Unwin Hymnan, 466 pp.■